

# 衝撃によるH型鋼梁の弾塑性応答解析に関する実験研究

防衛大学校土木工学教室 岡元北海

" " ○石川信隆

" " 政玄雄造

## 1. 緒言

衝撃力を受ける構造物の弾塑性応答については、最近数多くの理論的・実験的研究がなされ<sup>(1)~(6)</sup>、その弾塑性域にわたる変形挙動が次第に解明されつつある。しかし、現場で多用されているH型鋼についての衝撃による弾塑性応答に関する実験研究は少く、理論的研究としてR.K.Wenら<sup>(7)</sup>の塑性域における曲げモーメントとせん断力の相互作用を考慮したTimoshenkoばかりの近似解法、さらに出村・小堀<sup>(8)</sup>の上記解法を用いたせん断变形の数値的考察が挙げられるにすぎない。

構造物にまれに作用するかも知れない衝撃力に対する設計法では、衝撃によって生じた塑性変形量が規定の範囲を越えないようにするもので、衝撃力による構造物の弾塑性応答の中でも最大たわみや残留たわみが重要な要素となってくる。

かかる観点から、本研究は実用に供しているH型鋼(SS41)の弾塑性応答を実験的に究明せんとしたものである。すなわち、両端単純支持のH型鋼梁に重錐の自然落下による横衝撃を与えて、曲げモーメント、せん断力、最大たわみおよび残留たわみなどを求め、R.K.Wen<sup>(7)</sup>の理論値と比較するとともに、各種H型鋼の断面形状による比較検討を行ない、動的塑性設計へ資せんとしたものである。

## 2. 実験

### (1) 実験方法

実験装置の概要は図-1および写真-1に示すとおりで、重錐をガイドで誘導し、高さ10~200cm(落速140~626cm/sec)から自然落下させ、H型鋼の中央卓に横衝撃を与えた。重錐は図-2に示すように鋼製半球に仕上げ、重量は57Kgである。試験体の両端は単純支持とし、衝撃時に両端が支卓から離れないように写真-2に示すように上からボルトで固定した。測定は図-2に示すように重錐の中央卓に加速度計(Kyowa AS-1000A)を、試験体にはひずみゲージ(Kyowa KP-6-A1およびKP-6-B2)を貼付し、変位計(ShinKoh IDS-1)またはボテンショメータ(Midori LP-50S)を取り付けた。動ひずみ計(Kyowa DM-6P)、シンクロスコープ(Tektronix 565)およびカメラを使用して重錐の加速度、各点のひずみおよび変位を記録測定した。また残留たわみはギスにより衝撃直後同時に測定した。

### (2) 試験体

試験体は、一般構造用鋼材SS41を使用し、長さ200cm、スパン長180cmとし4種類各5本準備した。その寸法諸元を表-1に示す。各試験体について、アムスラー万能試験機により中央集中荷

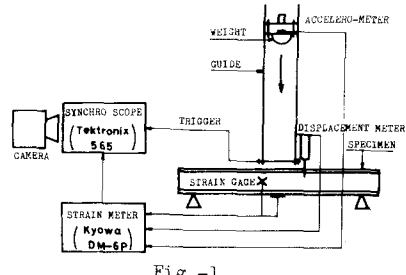


Fig.-1

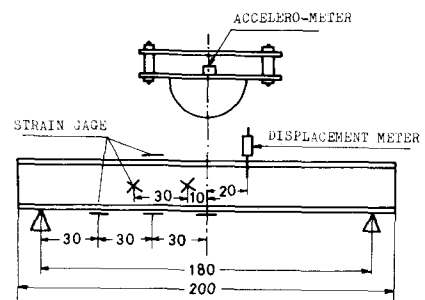


Fig.-2

Table-1

H - TYPE CROSS SECTION	A	B	C	D
SIZE	150 × 75	125 × 60	100 × 50	100 × 100
mm	h b $t_s$	75 60 6	50 5 5	100 5.5 7.5
AREA A cm <sup>2</sup>	17.85	16.84	11.85	19.68
WEIGHT W kg/m	14.0	13.2	9.3	15.44
MOMENT OF INERTIA I <sub>x</sub> cm <sup>4</sup>	666	413	187	350
SECTION MODULUS Z <sub>x</sub> cm <sup>3</sup>	88.8	66.1	37.5	70

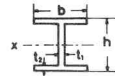


Photo-1

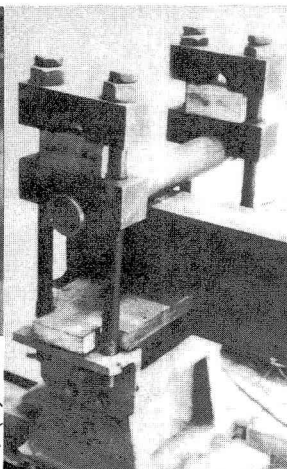


Photo-2

重による静的実験を行ない、静的降伏荷重 $P_y$ 、降伏モーメント $M_y^p$ およびヤング係数 $E$ の値を表-2のように求めた。

### (3) 実験結果

実験結果の一部を写真-3および図-3, 4, 5に示す。写真-3は試験体A、落高H=60cmのもので、チャネル1は重錐の加速度、2はせん断ひずみ、3は中央奥下側フランジひずみ、4は中央変位を示している。

図-3は試験体Aの中央奥下側フランジひずみを落高Hをパラメーターとして比較図示したもので、H=120cmにおいて残留ひずみが生じている。

図-4は試験体Aの1/3奥下側フランジのひずみを落高Hをパラメーターとして示したもので、H=120cm以上ではほぼ一定の性状を示しており、これでは残留ひずみが生じていない。

図-5は重錐の加速度およびせん断ひずみを落高Hをパラメーターとして比較したものが、両者の波形がほぼ似てることから、衝撃力がはりのせん断振動の影響を強く受けている

Table-2

SPECIMEN	P <sub>y</sub> (kg)	M <sub>y</sub> <sup>p</sup> (kg·cm)	E (10 <sup>4</sup> kg/cm <sup>2</sup> )
A	7380	3.32×10 <sup>3</sup>	2.13
B	5500	2.48×10 <sup>3</sup>	2.08
C	3200	1.44×10 <sup>3</sup>	2.14
D	5800	2.61×10 <sup>3</sup>	2.06

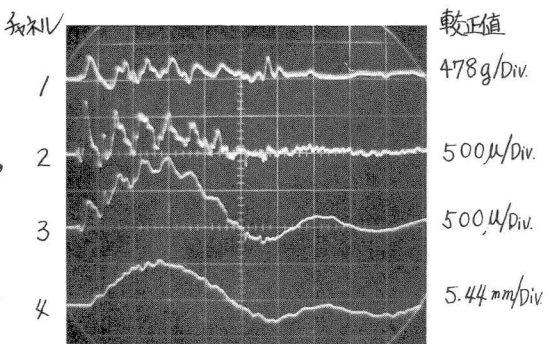
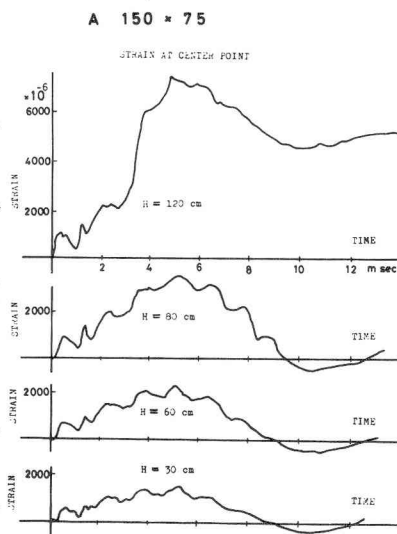
Photo-3 H=60cm  
(掃引速度 2 m/sec/DIV.)

Fig.-3 中央奥ひずみ

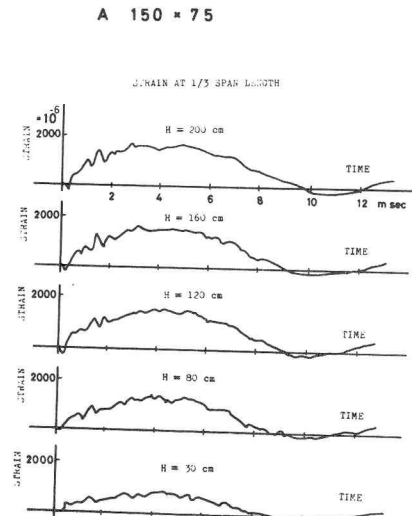


Fig.-4 1/3奥ひずみ

ことが認められる。

### 3. 理論解析

(1) 解析方法 ここでは R.K.Wen らが提案した、はりを一種の近似モデルに置き換えて数値積分する方法を用いた。

モデルは図-6, 7 に示すように連続したはりをパネルに分割したもので、各パネルは剛体で変形は力集中に挿入されているメントバネとせん断バネが受けもつと考え、外力や質量はパネルの中央点(質点)に集中させる。なお、支点は力集中に一致させるようとする。図-8 はパネルに作用する力の釣合図である。

以上の仮定から導いた関係式および降伏関数などを表-3 に示す。

Table-3

モーメントバネの回転 ( $\alpha_i$ )	$\alpha_{i+1} = \phi_{i+1} - \phi_i$	(1)	
せん断バネの変位 ( $\beta_i$ )	$\beta_{i+1} = y_{i+1} - y_i - \frac{h}{2}(\phi_{i+1} + \phi_i)$	(2)	
垂直方向の運動方程式	$m_i \frac{d^2 y_i}{dt^2} = S_{i+1} - S_i + P_i$	(3)	
回転方向の運動方程式	$J_i \frac{d^2 \phi_i}{dt^2} = M_i - M_{i+1} + \frac{h}{2}(S_i + S_{i+1})$	(4)	
曲げモーメント ( $M_i$ )	$M_i = -EI\alpha_i/h$	(5)	
せん断力 ( $S_i$ )	$S_i = Gk'A\beta_i/h$	(6)	
境界条件	$\alpha_1 = \alpha_{n+1} = 0, \beta_1 = y_1 - \frac{h}{2}\phi_1, \beta_{n+1} = -y_n - \frac{h}{2}\phi_n$	(7)	
時間増分 $\Delta t$ に対する $y_i$ 中でも同じ	$y_i(t_1) = y_i(t_0) + \Delta t y'_i(t_0) + \frac{1}{2} \frac{d^2 y_i}{dt^2}(t_0) \Delta t^2$	$t_1 = t_0 + \Delta t$	(8)
時間増分 $\Delta t$ に対する $y'_i$	$y'_i(t_1) = y'_i(t_0) + \Delta t \left[ \frac{y_i(t_0) + y_i(t_1)}{2} \right]$	(9)	
降伏関数	$f(M_i, S_i) = \left( \frac{M_i}{M_y} \right)^2 + \left( \frac{S_i}{S_y} \right)^2 - 1$	(10)	
塑性ポテンシャル	$\frac{\partial f}{\partial M_i} = \frac{\partial f}{\partial S_i} = \frac{\partial f}{\partial (P_i)/\partial t} = C_i$	(11)	
塑性変形量	$\Delta \alpha_p = \Delta \alpha - \Delta \alpha_e$ $\Delta \beta_p = \Delta \beta - \Delta \beta_e$	(12)	

記号:  $\phi_i$  = パネルの回転角,

$A$  = 断面積,

$y_i$  = 質点の垂直変位,

$k'$  = 断面定数,  $C_i$  = 定数

$m_i$  = 集中質量,

$n$  = 分割数,

$J_i$  = 集中慣性モーメント,

$h$  = パネル長,

$P_i$  = 集中外力,

$M_y$  = 降伏曲げモーメント,

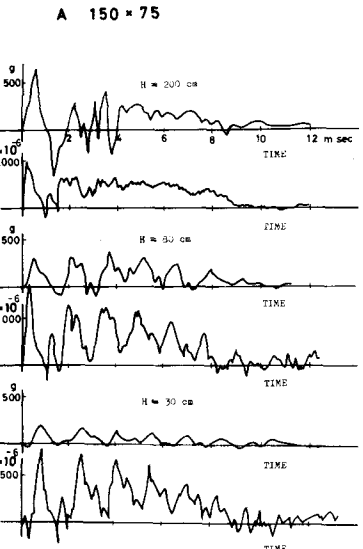


Fig.-5  
加速度 およびせん断ひずみ

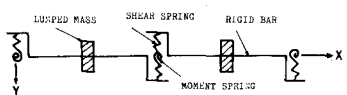


Fig.-6

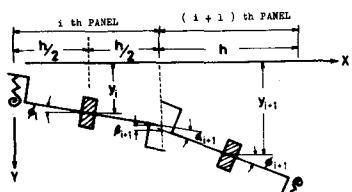


Fig.-7

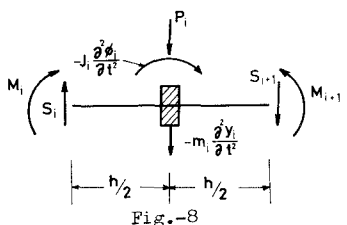


Fig.-8

なお、衝撃力については、衝撃を与える物体がはりに附着して振動するものと仮定し<sup>3)</sup>、はりの衝撃点に初速度を与える方法を用いる。すなわち、初期条件は次式のようになる。

$$y_i(0) = 0, \dot{y}_i(0) = 0 \quad (i \neq I), \quad \dot{y}_I(0) = \frac{m_w}{m_I + m_w} V \quad \left. \right\} \quad (13) \quad \text{ただし, } V, m_w = \text{重錘の衝撃速度および質量} \\ \phi_i(0) = 0, \dot{\phi}_i(0) = 0, \quad \dot{\phi}_I(0) = m_I \frac{dy_I}{dt} \quad \text{はり中央点の変位速度および集中質量}$$

## (2) 数値計算法および入力データの検討

式(1)～式(3)を用いて図-9のフローチャートにしたがって数値計算を行なうが、降伏関数  $f(M_i, S_i)$  が正となる場合は、はりの挙動が塑性域に入ったことを意味し、式(10), (11), (12)を用いて塑性変形量を計算することとなる。<sup>(1), (2)</sup>

数値計算においてパネル分割数  $N$  と時間増分  $\Delta t$  が計算結果との関連において問題となるので、予め検討した。

(i)  $\Delta t$  については、ある限界値 ( $\Delta t/T = 0.002$ ,  $T$ : はりの固有周期) より大きくなると収束しなくなり、それ以下の場合は計算結果がほど同じ値に収束する。しかし、分割数  $N$  が大きくなると、 $\Delta t$  を小さくしなければならないことから結局  $\Delta t/T = 0.0008$  を採用した。

(ii)  $N$  については、 $N$  を多くとれば結果は次第に一定になることが分り、これを図-10(a), (b) に示した。図-10(a) は  $N$  と最大変位  $Y_m$  の関係を、図-10(b) は  $N$  と  $Y_m/Y_y$  ( $Y_y$ : 残留変位) の関係を示したもので、 $N=21$  ではほぼ一定となるが、 $N=15$  でもその差は 1% 以内で実用上十分差し支えなく、計算時間も半分以下となるため、 $N=15$  を採用した。

(iii) 動的降伏モーメント  $M_y$  の値については、Symonds<sup>(4)</sup> および野中の提案した式を用いると、 $M_y = 1.5 M_y^0$  となるので、ここでは  $M_y = 1.5 M_y^0$  を使用した。

$$M_y = M_y^0 \left\{ 1 + \left( \frac{\dot{y}_1}{2Dl} \right)^{\frac{1}{4}} \right\} \quad \dots \quad (14)$$

ただし、 $\dot{y}_1$  = 初期変位速度、 $l$  = スパン長、 $D$  = 材料による定数 (鋼 40.4  $\text{sec}^{-1}$ )、 $p$  = 材料による定数 (鋼 5)、 $M_y^0$  = 静的降伏モーメント

また、動的降伏せん断力  $S_y$  については上式と von Mises の降伏条件を用いて算出し、結局入力データとして使用した諸値は表-4 のとおりである。

### 4. 実験結果と計算結果との比較検討

#### (1) 曲げモーメントおよびせん断力

図-11(b), (c) は曲げモーメントおよびせん断力の計算値をはり中央支持下フランジのひずみおよびせん断ひずみ値に換算し、実験値のそれらと比較したもので、さらに両者の比較を容易にするため、図-12(a), (b) にそれらのスペクトル解析を行ない図示した。図-11(b) より曲げモーメントは計算値の周期がやや短く、最大値がわずかに大きくなっているが、これは理論上局部変形や減衰の影響を無視した

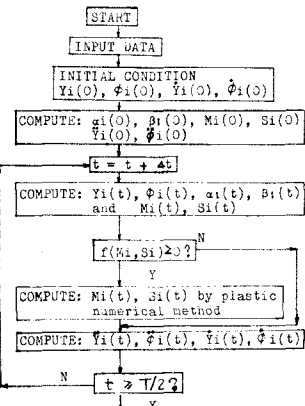


Fig.-9

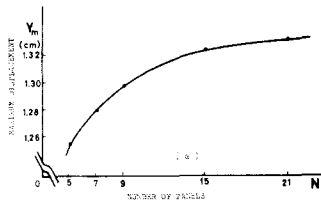


Fig.-10

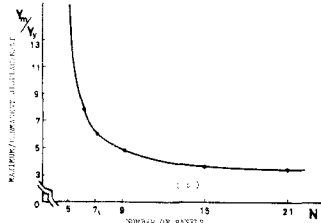


Table-4

DATA	SPECIMEN	A	B	C	D
SPAN LENGTH L (cm)		180	180	180	180
NATURAL PERIOD T (sec)		0.006	0.007	0.007	0.007
PANEL MASS m (gr)		1.71	1.62	1.14	1.89
ROTATORY INERTIA J (cm <sup>2</sup> gr/sec)		5.34	3.31	1.50	2.80
FLEXURAL RIGIDITY EI (gr·cm <sup>2</sup> ) × 10 <sup>6</sup>		14.3	8.88	4.02	7.53
SHEARING RIGIDITY KGA (gr) × 10 <sup>6</sup>		6.23	6.23	4.15	4.57
YIELD MOMENT M <sub>y</sub> (gr·cm) × 10 <sup>6</sup>		4.98	3.71	2.16	3.92
YIELD SHEAR FORCE S <sub>y</sub> (gr) × 10 <sup>6</sup>		5.80	5.44	3.85	6.40
WEIGHT MASS m <sub>w</sub> (gr)		58	58	58	58
IMPACT VELOCITY V (cm/sec)		140	—	626	

ためと考えられる。一方、図-12(a)の曲げモーメントの周波数応答特性は、1次振動が支配的で、2次振動も若干現われている。

せん断力の実験値も、図-12(b)より曲げモーメントと同様1次振動がやや支配的であるが、2次振動もかなり大きい。計算値の方は1次振動がやや小さく、2次から4次までの波も現われてあり、この実験値と異っている。

## (2)たわみ

図-11(a)は試験体A、落高H=40cmの場合の中央最大たわみを比較したもので、計算値の方がやや大きくなっているが、殆んど合致している。しかし、落高が高くなるにつれ、たわみ-時間曲線の測定結果は不安定となり、十分な値は得られなかつたが、最大たわみおよび残留たわみのみ測定して図-13、14、15、16に示した。いずれも実験値と計算値がほぼ一致していることが認められる。Eulerモデルは曲げ变形のみ考慮した場合で、Timoshenkoモデルとの差がせん断変形による影響を示している。この影響は静的実験において約1%であるが、衝撃の場合には試験体によって多少異なるが、約10%あり、特に衝撃の場合にはせん断変形の影響が大きいことが確認された。また、別の実験データによれば、この影響は衝撃点および支点附近で大きく、それらの点より離れた1/3点附近では小さいことも認められた。

## 5.断面形状による比較

本実験で用いたH型鋼の比較基準(例えは重量一定など)は一定でなかったが、一方使用した試験体A(150×75)、B(125×60)、C(100×50)、D(100×100)の最大たわみおよび残留たわみY<sub>m</sub>についてそれを図-17および図-18に比較した。

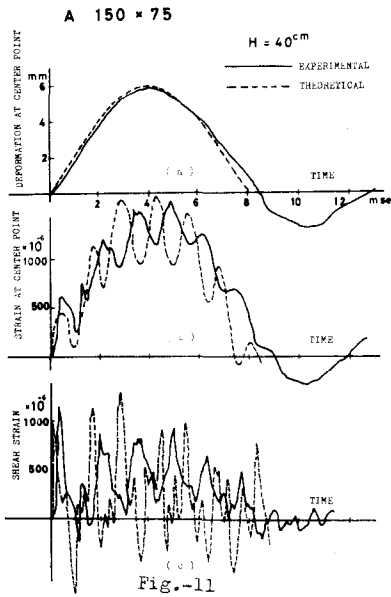


Fig.-11

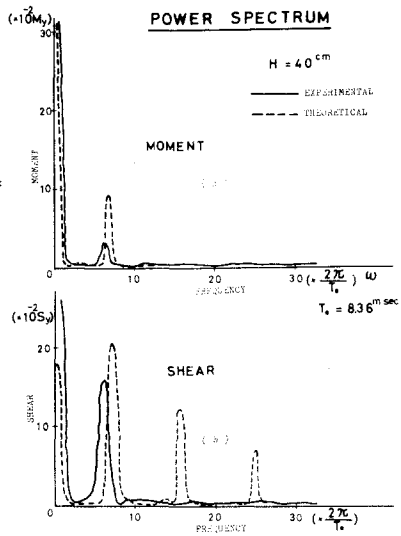


Fig.-12

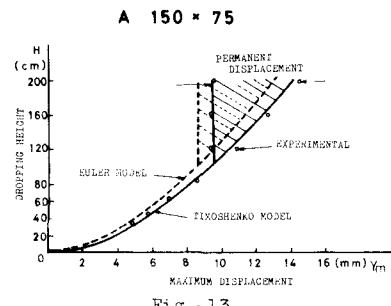


Fig.-13

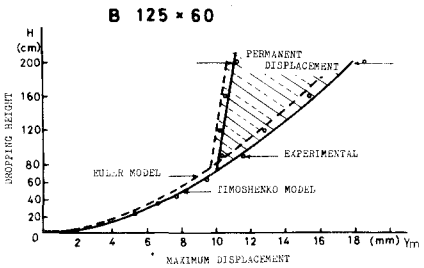


Fig.-14

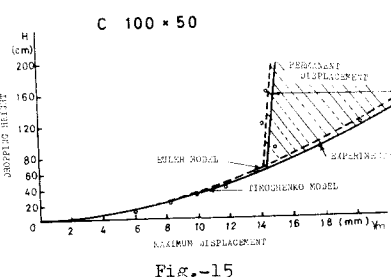


Fig.-15

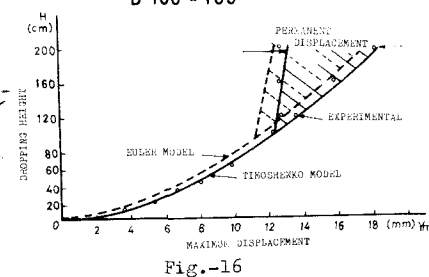


Fig.-16

(1) 図-17より最大たわみは一定の落高に対しA, B, D, Cの順に大きくなっている。AはDよりも重量(断面積)が小さいにも拘らずDに比べ最大たわみは小さくなっている。Bもほぼ同様の傾向を示している。これより衝撃の場合も静的の場合と同様曲げ剛性のたわみに与える影響が大きいことが確認される。

(2) 図-18より残留たわみは落高H=160cm以上ではA, D, B, Cの順に大きいが、残留たわみが生じ始める落高の位置はD, A, B, Cの順に低くなっている。これよりフランジ幅の増大に伴い残留たわみが生じにくく傾向があるものと思われる。

## 6. 結語

本研究は基礎的な衝撃実験によりH型鋼梁の弾塑性応答を明らかにしたもので、Timoshenkoのモデルによる近似変形計算法が実験値にはじ合致することを認めた。本研究の成果を要約すれば以下のとおりである。(1) 衝撃力について、最大加速度より求めた作用荷重とせん断ひずみより算定した最大せん断力の値がほぼ一致し、これが静的崩壊荷重の3~5倍の大きさになる。また衝撃速度は140~626cm/secの範囲を使用したが、このような範囲内では、重錘がはりに附着するものと仮定して初速度を与える方法を用いても実用計算上十分差し支えないものと思われる。

(2) たわみに及ぼすせん断変形の影響は静荷重の場合に比し、衝撃の場合は大きく、特にウェブの薄いH型鋼では無視することはできない。

(3) 最大たわみに及ぼす曲げ剛性の影響は、静的の場合と同様衝撃の場合も大きいことが確認された。なお、本実験により理論の妥当性がほぼ確認されたが、さらに高精度の解を得るには、局部変形や減衰の影響を理論上加味する必要がある。また、衝撃に対するH型鋼の設計基準を定めるには、こうに多くの実験データを集積するとともに、大衝撃を与える実験装置や測定法などの改良を加える必要があり、衝撃に対するH型鋼の最適設計も考慮しなければならないと思われる。

## 参考文献

- 1) R.K.Wen, N.Beylerian: Elasto-Plastic Response of Timoshenko Beam; Proc. of A.S.C.E., ST3, June 1967, pp.131-146
- 2) 出村・小畠: 衝撃によるはりの塑性変形に及ぼすせん断変形の影響について、土木学会第25回講演集、第一部、昭和45年  
塑性設計上からみたせん断変形についての一考察、土木学会第26回講演集、第一部、昭和46年
- 3) W.Goldsmith; Impact, Edward Arnold Ltd., 1960, pp.55-65
- 4) S.R.Bodner, P.S.Symonds: Experimental and Theoretical Investigation of the Plastic Deformation of Cantilever Beams Subjected to Impulsive Loading, Trans. of ASME, Journal of Applied Mechanics, Dec. 1962, pp.719-728
- 5) T.Nomata: Some Interaction Effect in a Problem of Plastic Beam Dynamics,  
Part I: Interaction Analysis of a Rigid, Perfectly Plastic Beam, Journal of Applied Mechanics, Trans. of ASME, Sept. 1967, pp.623-630  
Part II: Analysis of a Structure as a System of One Degree of Freedom, Journal of Applied Mechanics, Sept. 1967, pp.631-637  
Part III: Experimental Study, Journal of Applied Mechanics, Sept. 1967, pp.638-643
- 6) 若林・野中・南: 衝撃力をうける構造物の塑性変形、東大防災研究所年報第10号A、昭和42.3, pp.391-406

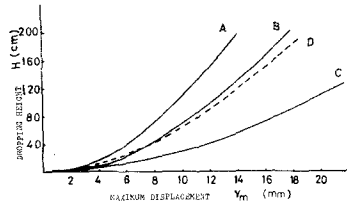


Fig.-17

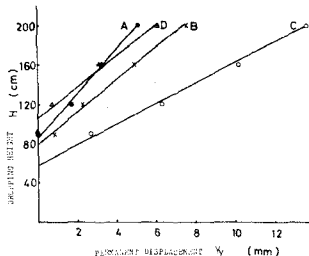


Fig.-18